

	EXEMPLE	E D'APPLICATION PRO	o S im P Lus	
	POMPE A CHA	ALEUR HAUTE 1	ΓEMPERATU!	RE
		INTERET DE L'EXEMPL		
Cet exemple p	resente l'utilisation d'une p	ompe à chaleur (PAC) haute	e temperature (HT) pou	ir des besoins industriel
DIFFUSION	☑ Libre Internet	Réservée clients	Restreinte	Confidentielle
	1			

Il est rappelé au lecteur que ce cas d'utilisation est un exemple et ne doit pas être utilisé à d'autres fins. Bien que cet exemple soit basé sur un cas réel il ne doit pas être considéré comme un modèle de ce type de procédé et les données utilisées ne sont pas toujours les plus exactes disponibles. Fives ProSim ne pourra en aucun cas être tenu pour responsable de l'application qui pourra être faite des calculs basés sur cet exemple.

Energy

Fives ProSim

Siège social : Immeuble Stratège A - 51 rue Ampère - 31670 Labège - FRANCE

Version : Juillet 2025

TABLE DES MATIÈRES

1.	MOD	DELISATION DU PROCEDE	3
	1.1.	Présentation du procédé	3
	1.2.	Schéma de simulation	4
	1.3.	Constituants	5
	1.4.	Modèle thermodynamique	5
	1.5.	Conditions opératoires	6
	1.6.	Initialisations	10
2.	RES	SULTATS	11
	2.1.	Bilans matière et énergie	11
	2.2.	Performance du procédé	14
3	RIRI	I IOGRAPHIF	15

Version: Juillet 2025 Page: 3 / 15

1. MODELISATION DU PROCEDE

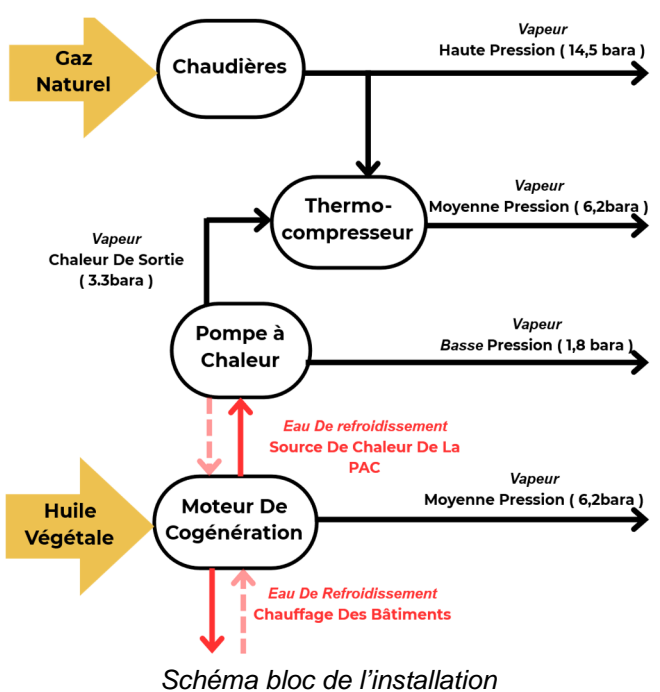
1.1. Présentation du procédé

Cet exemple présente la simulation d'une pompe à chaleur (PAC) haute température (HT) fonctionnant au R1233zd. Les pompes à chaleurs haute température permettent d'atteindre des températures au-delà de 150°C. L'utilisation de ces PAC haute température dans l'industrie est de plus en plus développée, notamment comme solution de réutilisation et de revalorisation de chaleurs fatales [ABR23], [BRU24], [ZUH24].

Cet exemple est fondé sur les données du projet européen « PUSH2HEAT » réalisé dans le cadre de l'étude d'une papeterie « *Cartiera di Guarcino* » localisée en Italie. L'usine dispose de différents besoins en vapeur à différents niveaux de pression. Ces vapeurs sont produites par les unités suivantes :

- 3 moteurs de cogénération, alimentés en huile végétale (huile de palme) et graisse animale permettent la production de vapeur saturée à 6.2 bara ainsi que d'électricité. La quasi-totalité de l'électricité produite est auto-consommée (le surplus étant envoyé sur le réseau local d'électricité). Une grande partie de la vapeur nécessaire sur le site est également produite par ces moteurs ;
- 2 chaudières fonctionnant au gaz naturel (GN) permettent de produire une vapeur à haute pression (14.5 bara);
- Une pompe à chaleur haute température (PAC HT) permet de produire 1170 kg/h de vapeur basse pression (1.8 bara) et 3140 kg/h de vapeur à 3.3 bara. Cette dernière est envoyé vers un thermo-compresseur où elle est mélangée avec une partie de la vapeur haute pression afin de produire de la vapeur moyenne pression (6.2 bara).

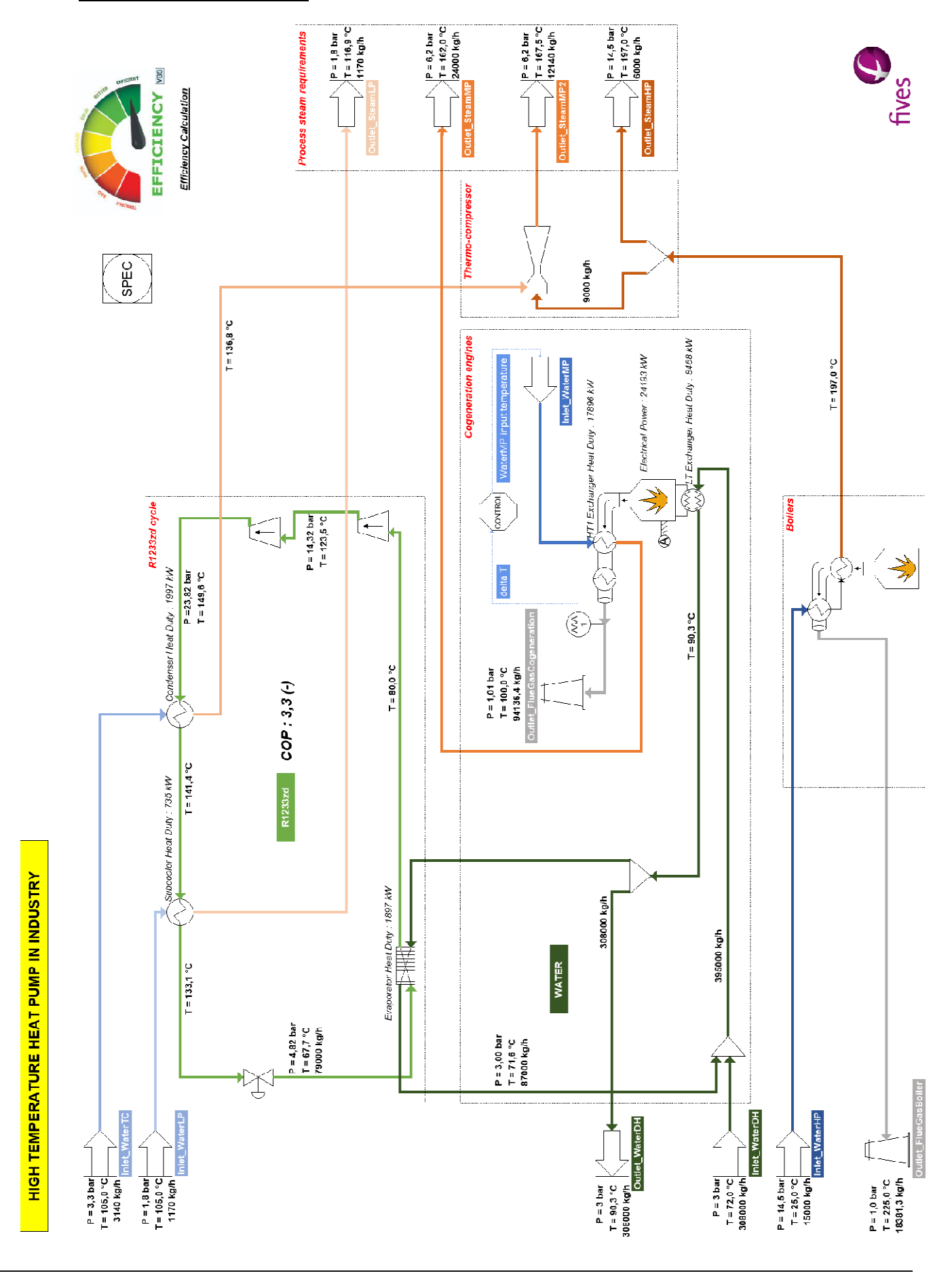
Les moteurs de cogénération sont refroidis par une boucle d'eau de refroidissement. Celle-ci entre dans le moteur à environ 70°C et en ressort à 90°C. Cette eau chaude a ensuite deux destinations : une première partie du débit est utilisée pour le chauffage des bâtiments, tandis que la seconde est utilisée comme source de chaleur pour la PAC.



Version: Juillet 2025

Page : 4 / 15

1.2. Schéma de simulation



Version : Juillet 2025 Page : 5 / 15

1.3. Constituants

Les constituants pris en compte dans la simulation ainsi que leurs formules chimiques et leurs numéros CAS(*) sont présentés dans le tableau ci-après. Les propriétés de corps purs sont extraites de la base de données standard des logiciels ProSim.

Constituant	Formule chimique	Numéro CAS
Water	H ₂ O	7732-18-5
R1233zd	C ₃ H ₂ CIF ₃	102687-65-0
Carbon monoxide	СО	630-08-0
Oxygen	O ₂	7782-44-7
Nitrogen	N ₂	7727-37-9
Carbon dioxide	CO ₂	124-38-9
Hydrogen Sulfide	H ₂ S	7783-06-4
Sulfur dioxide	SO ₂	7446-09-5
Sulfur trioxide	SO ₃	7446-11-9
Nitric oxide	NO	10102-43-9
Hydrogen	H ₂	1333-74-0
Ammonia	NH ₃	7664-41-7
Methane	CH ₄	74-82-8

1.4. Modèle thermodynamique

Trois « calculator » thermodynamiques sont définis pour simuler l'exemple :

- « Water » : ce calculator ne contient que le constituant « Water ». Il est défini avec un profil thermodynamique
 « Eau pure ». Il est utilisé pour modéliser l'eau de refroidissement et la vapeur.
- « R1233zd » : ce calculator ne contient que le fluide frigorigène R1233zd. Celui-ci est issu directement de la base de données des fluides frigorifiques de ProSimPlus.
- ➢ « Fumes-Biogas » : ce calculator contient les constituants suivants : CO, O₂, N₂, CO₂, H₂S, SO₂, SO₃, NO, H₂O, H₂, NH₃, CH₄. Il permet de représenter les compositions des fumées en sortie des combustions. Il est directement issu de la base de données du réacteur de « Combustion ».

Les modèles thermodynamiques utilisés sont documentés dans la notice thermodynamique accessible depuis la fenêtre de définition d'un calculator.

(*) CAS Registry Numbers® are the intellectual property of the American Chemical Society and are used by ProSim SA with the express permission of ACS. CAS Registry Numbers® have not been verified by ACS and may be inaccurate

Version : Juillet 2025 Page : 6 / 15

1.5. Conditions opératoires

✓ Alimentations du procédé

Nom	Inlet_WaterLP	Inlet_WaterTC	Inlet_WaterMP	Inlet_WaterHP	Inlet_WaterDH
Débits massiques partiels (kg/h)					
Eau	1170	3140	22500	15000	308000
Température (°C)	105	105	7.5	25	72
Pression (bara)	1.8	3.3	6.2	14.5	3

✓ Pompe à chaleur

o Échangeurs

Nom	Subcooler	Condenser	Evaporator
Type de courant	Contre-courant ou multi passes	Contre-courant ou multi passes	Contre-courant ou multi passes
Type de spécification	Courant froid	Courant froid	Courant froid
Contrainte	Surchauffé au-dessus de sa température de rosée	Surchauffé au-dessus de sa température de rosée	Température de sortie
Température (°C)	0	0	80

Compresseurs

Nom	C1	C2
Spécification fournie	Pression fournie par l'utilisateur	Pression fournie par l'utilisateur
Pression de refoulement (bara)	14.32	23.82
Efficacité isentropique	0.8	0.8
Efficacité mécanique	1	1
Efficacité électrique	1	1

Vanne de détente

Type de la contrainte	Spécification de la pression	
Spécification pour la pression	Pression fournie par l'utilisateur	
Pression (bara)	4.82	
Pertes de charge (bara)	0	

Version : Juillet 2025 Page : 7 / 15

✓ Partie cogénération

o Moteur de cogénération

Combustion		
Comburant		
Туре	Air	
Contrainte	% d'O2 massique dans les fumées en sortie de combustion	
O2 dans les fumées (%)	2	
Pression d'entrée (atm)	1	
Température d'entrée du comburant (°C)	80	
Combustible (liquide/solide)		
% massique C	45.42	
% massique H	6.35	
% massique O	47.63	
% massique N	0.47	
% massique S	0.13	
Pression entrée (atm)	1	
PCI	Estimé	

Les compositions du combustible (huile de palme) sont issues de la littérature [ABI23].

Les coefficients stœchiométriques des réactions de la combustion sont obtenus en appuyant sur le bouton « Calcul des coefficients stœchiométriques des réactions conventionnelles ».

Note : Le bouton « Charger les constituants des fumées » du module permet de charger le calculator des fumées et de définir ce calculator comme celui de la chaudière. Un nouveau calculator « Fumes-Biogas » est alors ajouté à la liste des calculators.

Version : Juillet 2025 Page : 8 / 15

Echangeur BT		
Température du fluide en entrée du moteur (sortie BT) (°C)	72	
Température du fluide en sortie du moteur (entrée BT) (°C)	92	
Fluide de refroidissement	Eau	

Echangeur HT1		
Type d'échangeur	Contre-courant pur	
Mode de calcul	Modèle en pincement	
Pincement (K)	70	

Contrainte		
Type de contrainte	Puissance HT imposée	
Contrainte sur la température de sortie de l'utilité HT1	Température de sortie de l'utilité	
Température de sortie (°C)	162	

Calcul des rendements		
Rendement BE (basse enthalpie) (%)	10	
Rendement BT (%)	14	
Rendement électrique (%)	40	

Diviseur de courant

Spécification fournie	Débit massique
Courant calculé automatiquement	C20 (Outlet_WaterDH)
Débit massique C19 (HeatSource evaporator) (kg/h)	87000

√ Chaudières

Version: Juillet 2025

Combustion		
Comburant		
Туре	Air	
Contrainte	% d'O2 massique dans les fumées en sortie de combustion	
O2 dans les fumées (%)	2	
Pression d'entrée (atm)	1	
Combustible (gaz) / description avancée		
Туре	Molaire/Volumique	
Teneur en méthane (%)	84.6	
Teneur en éthylène (%)	0	
Teneur en éthane (%)	6.4	
Teneur en propylène (%)	0	
Teneur en propane (%)	5.3	
Teneur en butane (%)	1.4	
Teneur en CO2 (%)	1.3	
Teneur en CO (%)	0	
Teneur en H2 (%)	0	
Teneur en N2 (%)	1	
Teneur en H2S (%)	0	
Pression d'entrée (atm)	1	

Les compositions du combustible (gaz naturel) sont issues de la littérature [FAR16].

Echangeur interne		
Configuration		
Type d'échangeur	Contre-courant pur	
Mode de calcul	Modèle en pincement	
Pincement (K)	200	

Version : Juillet 2025 Page : 10 / 15

Contrainte		
Contrainte	Puissance utile imposée	
Contrainte pour l'utilité	Température de sortie de l'utilité	
Température (°C)	197	

✓ Partie Thermo-compresseur

o Thermo-compresseur

Facteur Pb/Pe	0.9	
Rendement isentropique de la tuyère primaire	0.9	
Rendement isentropique de la zone de détente du fluide secondaire	1	
Mode de calcul	Zone de mélange à section constante	
Rendement isentropique du diffuseur	0.9	

o Diviseur de courant

Spécification fournie	Débit massique
Courant calculé automatiquement	C5 (Outlet_SteamHP)
Débit massique C9 (entrée thermo-compresseur) (kg/h)	9000

1.6. <u>Initialisations</u>

La séquence de calcul est automatiquement déterminée par ProSimPlus. Deux courant coupés sont détectés : le courant « C27 » (entrée de l'évaporateur) du cycle de la PAC et le courant « C19 » (entrée de l'évaporateur) du cycle de refroidissement des moteurs. Les initialisations suivantes sont utilisées :

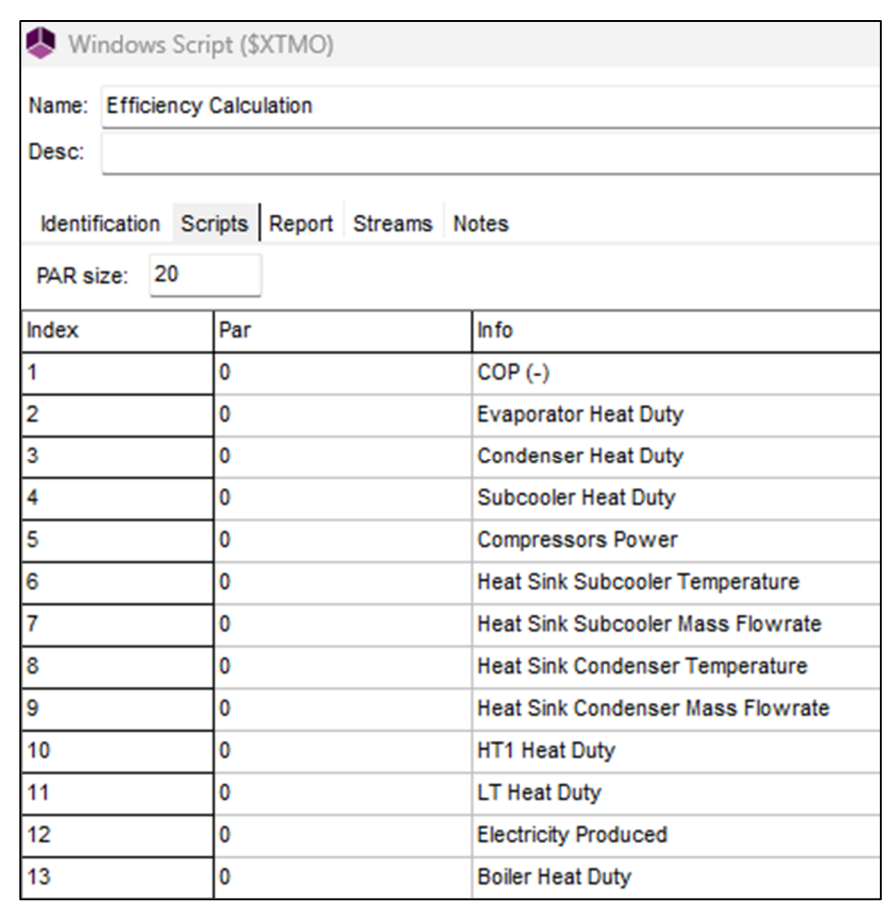
Courant	C27	C19
Débit massiques partiels (kg/h)		
R1233zd	79000	0
Eau	0	87000
Température (°C)	67.7	92
Pression (bara)	-	3
Taux de vaporisation	0.585	-

Version : Juillet 2025 Page : 11 / 15

2. RESULTATS

2.1. Bilans matière et énergie

Le module Windows Script « Efficiency Calculation » est utilisé pour calculer des données caractéristiques de performances du procédé.



Version : Juillet 2025 Page : 12 / 15

Le script suivant est utilisé afin de présenter les différentes puissances des appareils, de calculer le coefficient de performance (COP) et de rappeler les données de la PAC. Les résultats sont imprimés dans l'onglet « Rapport » du module « Efficiency Calculation » :

```
' CALL OF PREDEFINED SCRIPT
ExecuteGlobal CreateObject("Scripting.FileSystemObject").OpenTextFile(Project.ApplicationPath &
"Scripts\IncludeScript.vbs", 1).ReadAll()
IncludeScript "StreamProperties.vbs"
IncludeScript "UnitConversion.vbs"
IncludeScript "FormatDouble.vbs"
Function OnCalculation()
' CALCULATION OF COEFFICIENT OF PERFORMANCE OF HEAT PUMP
  Evaporator_HeatDuty = Project.Modules("Evaporator").HeatDuty
 Condenser_HeatDuty = Project.Modules("Condenser").HeatDuty
Subcooler_HeatDuty = Project.Modules("Subcooler").HeatDuty
 Compressors_Power = Project.Modules("C1").TotalUsefulPower + Project.Modules("C2").TotalUsefulPower
 Heatsink_Subcooler_Temperature = Project.Modules("Subcooler").OutputStream(2).Temperature
 Heatsink_Subcooler_MassFlowrate = Project.Modules("Subcooler").OutputStream(2).MassFlowrate
  Heatsink_Condenser_Temperature = Project.Modules("Condenser").OutputStream(2).Temperature
 Heatsink_Condenser_MassFlowrate = Project.Modules("Condenser").OutputStream(2).MassFlowrate
 COP = (Condenser_HeatDuty + Subcooler_HeatDuty) / Compressors_Power
 Module.parameter(1) = COP
 Module.parameter(2) = ProSimToReport("Power", Evaporator_HeatDuty)
Module.parameter(3) = ProSimToReport("Power", Condenser_HeatDuty)
 Module.parameter(4) = ProSimToReport("Power", Subcooler_HeatDuty)
Module.parameter(5) = ProSimToReport("Power", Compressors_Power)
 Module.parameter(6) = ProSimToReport("Temperature", Heatsink_Subcooler_Temperature)
 Module.parameter(7) = ProSimToReport("Mass flow rate", Heatsink_Subcooler_MassFlowrate)
 Module.parameter(8) = ProSimToReport("Temperature", Heatsink_Condenser_Temperature)
 Module.parameter(9) = ProSimToReport("Mass flow rate", Heatsink_Condenser_MassFlowrate)
 CALCULATION COGENERATION ENGINES PERFORMANCES
 HT1_ExchangerHeatDuty = abs(Project.Modules("CogenerationEngines").HT1ExchangerHeatDuty)
  LT_ExchangerHeatDuty = abs(Project.Modules("CogenerationEngines").LTExchangerHeatDuty)
  ElectricalPower = abs(Project.Modules("CogenerationEngines").ElectricalPowerProduced)
 Module.parameter(10) = ProSimToReport("Power", HT1_ExchangerHeatDuty)
 Module.parameter(11) = ProSimToReport("Power", LT_ExchangerHeatDuty)
Module.parameter(12) = ProSimToReport("Power", ElectricalPower)
 CALCULATION COGENERATION ENGINES PERFORMANCES
  Boiler ExchangerHeatDuty = abs(Project.Modules("Boilers").InternalExchangerHeatDuty)
 Module.parameter(13) = ProSimToReport("Power", Boiler ExchangerHeatDuty)
 OnCalculation = true
End Function
```

Version : Juillet 2025 Page : 13 / 15

```
Sub OnPrintResults()
 PRINT RESULTS
 Module.PrintReport "Heat Pump Performance" & VbLf
 Module.PrintReport "Power consumption and heat duty" & VbLf
 Module.PrintReport "
                         Evaporator heat duty
                                                    = " & FormatNumber(Module.parameter(2), 0) &
ReportUnit("Power")
 Module.PrintReport "
                                                     = " & FormatNumber(Module.parameter(3), 0) &
                        Condenser heat duty
ReportUnit("Power")
 Module.PrintReport "
                        Subcooler heat duty
                                                    = " & FormatNumber(Module.parameter(4), 0) &
ReportUnit("Power")
 Module.PrintReport "
                                                    = " & FormatNumber(Module.parameter(5), 0) &
                         Compressors power
ReportUnit("Power")
                                                     = " & FormatNumber(Module.parameter(1),1) & " (-)"
 Module.PrintReport "
                         COP
& VbLf
 Module.PrintReport "Heat sink paramaters " & VbLf
 Module.PrintReport "
                        Steam temperature"
 Module.PrintReport "
                          Sublcooler Outlet
                                                    = " & FormatNumber(Module.parameter(6), 0) &
ReportUnit("Temperature")
 Module.PrintReport "
                          Condenser Outlet
                                                     = " & FormatNumber(Module.parameter(8), 0) &
ReportUnit("Temperature") & VbLf
 Module.PrintReport "
                        Steam mass flowrate"
 Module.PrintReport "
                                                    = " & FormatNumber(Module.parameter(7), 0) &
                          Sublcooler Outlet
ReportUnit("Mass flow rate")
                          Condenser Outlet
 Module.PrintReport "
                                                    = " & FormatNumber(Module.parameter(9), 0) &
ReportUnit("Mass flow rate") & VbLf
 Module.PrintReport "Cogeneration Engines Performance" & VbLf
                                                    = " & FormatNumber(Module.parameter(10), 0) &
 Module.PrintReport "
                        HT1 Exchanger heat duty
ReportUnit("Power")
 Module.PrintReport "
                        LT Exchanger heat duty
                                                    = " & FormatNumber(Module.parameter(11), 0) &
ReportUnit("Power")
 Module.PrintReport " Electrical power generated = " & FormatNumber(Module.parameter(12), 0) &
ReportUnit("Power") & VbLf
 Module.PrintReport "Boilers Performance" & VbLf
 Module.PrintReport "
                         Boiler power
                                                    = " & FormatNumber(Module.parameter(13), 0) &
ReportUnit("Power")
End Sub
```

Version : Juillet 2025

2.2. Performance du procédé

Résultats de simulation	Notation	Pompe à Chaleur
Puissance Evaporateur (kW)	Α	1894
Puissance « Subcooler » (kW)	В	735
Puissance Condenseur (kW)	С	1997
Puissance Compresseurs (kW)	D	838
COP (-)	$E\;(\;=\frac{B+C}{D})$	3.3
Température Condenseur atteinte (°C)	F	136.8
Température « Subcooler » atteinte (°C)	G	117
Débit Massique Condenseur (kg/h)	Н	3140
Débit Massique « Subcooler » (kg/h)	I	1170

Les données de simulation obtenues sont cohérentes avec les valeurs du projet européen « PUSH2HEAT » : Les puissances de la PAC et le COP obtenu par simulation sont du même ordre de grandeur que dans les rapports publiés.

Version : Juillet 2025 Page : 15 / 15

3. Bibliographie

[ABI23] Abioye, K. J., Harun, N. Y., Umar, H. A., & Kolawole, A. H. (2023). Study of physicochemical properties of palm oil decanter cake for potential Syngas generation. *Chemical Engineering Transactions*, *99*, 709–714. https://www.researchgate.net/publication/374867940

- [ABR23] Abrami, G., Toppi, T., POLIMI, BONO, & ENERTIME. (2023). *Demonstration site at CDG system design* (By POLIMI).
- [BRU24] Bruyère, B., CETIAT, & ALLICE. (2024). *Etat de l'art des PAC THT Volet 2* (p. 66). https://www.alliance-allice.com/fr/travaux-collectifs consultée le 25/06/2025.
- [FAR16] Faramawy, S., Zaki, T., & A.A.-E. Sakr. (2016). Natural gas origin, composition, and processing: A review.

 In Journal of Natural Gas Science and Engineering (Vol. 34, pp. 34–54).

 http://dx.doi.org/10.1016/j.jngse.2016.06.030
- [ZUH24] Zühlsdorf, B., Nekså, P., & Elmegaard, B. (2024). 4th High-temperature Heat Pump Symposium: Book of Presentations. DTU Mechanical Engineering.